

# Sieć neuronowa do zadania konwersji pomiędzy przestrzeniami RGB i HSV

Sprawozdanie z realizacji projektu sieci neuronowej

Michał Nowicki

95883

## 1 Definicja problemu

Celem projektu było zaprojektowanie, nauczanie i przetestowanie sieci neuronowej realizującej zadanie konwersji z przestrzeni barw RGB do przestrzeni HSV oraz zadanie do niego odwrotne.

Reprezentacja barw RGB jest standardowym sposobem reprezentacji kolorów stosowanym w informatyce. Każdy kolor dostępny na ekranie bądź zdjęciu reprezentowany jest jako złożenie 3 kanałów:

- R (red) - kanał czerwony,
- G (green) - kanał zielony,
- B (blue) - kanał niebieski.

Zakres wartości każdego z kanałów jest sprawą umowną. W zadaniach z dziedziny przetwarzania obrazów standardowo zakłada się, że każdy kanał reprezentowany jest przez jedną wartość całkowitoliczbową z zakresu  $< 0, 255 >$ . Do reprezentacji takiej wartości standardowo stosuje się zmienną 8-bitową bez znaku (uint8). Innym analogicznym sposobem reprezentacji jest znormalizowanie zakresu każdego kanału do wartości zmiennoprzecinkowych z zakresu  $< 0, 1 >$ .

Przestrzeń barw RGB nie jest jedynym sposobem reprezentacji możliwego koloru. Najlepiej zrozumieć za pomocą sześcianu kolorów. Umieśćmy sześcian w kartezjańskim układzie współrzędnych tak, aby każdy jego bok był równoległy do jednej osi układu. Każdy punkt wewnątrz oraz na bokach sześcianu może przedstawić za pomocą 3 wartości -  $(x, y, z)$ . Teraz zakładając, że w 3 wierzchołkach sześcianu leżących na osiach poza początkiem układu mamy punkty odpowiadające całkowicie kolorowi czerwonemu, zielonemu i niebieskiemu. Każdy możliwy kolor posiada odpowiadający mu punkt wewnątrz sześcianu. Jednak, każdy punkt w układzie 3-wymiarowym można także przedstawić w inny sposób. Przykładowo punkt może zostać zaprezentowany jako:

- odległość na odcinku pomiędzy początkiem układu, a przeciwległym narożnikiem sześcianu,
- promieniem okręgu prostopadłego do tego odcinka,
- kątem reprezentującym pozycję na obwodzie odcinka.

W ten sposób można przedstawić każdy punkt sześcianu za pomocą jednoznacznej reprezentacji tych 3 wartości. Właśnie taki sposób można rozumieć przestrzeń HSV, gdzie odległość, promień i kąt odpowiadają odpowiednio wartością hue(H), saturation(S), value(V). Dodatkowo, jeśli istnieje jednoznaczna reprezentacja punktu w przestrzeni RGB oraz w przestrzeni HSV to istnieje także przekształcenie łączące obie reprezentacje.

### 1.1 Transformacja reprezentacji w przestrzeni RGB do przestrzeni HSV

Zakładając, że wartości kanałów RGB są znormalizowane w celu znalezienie przekształcenia do przestrzeni HSV, można zapisać pomocnicze wartości:

$$C_{max} = \max\{R, G, B\} \quad (1)$$

$$C_{min} = \min\{R, G, B\} \quad (2)$$

$$\Delta = C_{max} - C_{min} \quad (3)$$

Ostatecznie, wartość koloru w przestrzeni HSV można zapisać jako:

$$H = \begin{cases} 60 \times \left(\frac{G-B}{\Delta}\right) \bmod 6 & , \text{ gdy } C_{max} = R \\ 60 \times \left(\frac{B-R}{\Delta}\right) + 2 & , \text{ gdy } C_{max} = G \\ 60 \times \left(\frac{R-G}{\Delta}\right) + 4 & , \text{ gdy } C_{max} = B \end{cases} \quad (4)$$

$$S = \begin{cases} 0 & , \text{ gdy } \Delta = 0 \\ \frac{\Delta}{C_{max}} & , \text{ gdy } \Delta \neq 0 \end{cases} \quad (5)$$

$$V = C_{max} \quad (6)$$

### 1.2 Transformacja reprezentacji w przestrzeni HSV do przestrzeni RGB

Analogicznie do poprzedniej transformacji można zdefiniować pomocnicze zmienne:

$$C = V \times S \quad (7)$$

$$X = C \times \left(1 - \left\lfloor \frac{H}{60^\circ} \bmod 2 - 1 \right\rfloor\right) \quad (8)$$

$$m = V - C \quad (9)$$

Korzystając ze zmiennych pomocniczych możemy zapisać:

$$(R, G, B) = \begin{cases} (C + m, X + m, m) & , \text{ gdy } 0^\circ \leq H < 60^\circ \\ (X + m, C + m, m) & , \text{ gdy } 60^\circ \leq H < 120^\circ \\ (m, C + m, X + m) & , \text{ gdy } 120^\circ \leq H < 180^\circ \\ (m, X + m, C + m) & , \text{ gdy } 180^\circ \leq H < 240^\circ \\ (X + m, m, C + m) & , \text{ gdy } 240^\circ \leq H < 300^\circ \\ (C + m, m, X + m) & , \text{ gdy } 300^\circ \leq H < 360^\circ \end{cases} \quad (10)$$

## 2 Sposób rozwiązania problemu

Do rozwiązania problemu wykorzystałem dwie jednokierunkowe sieci feed-forward. Zestawy testowe zostały wygenerowane korzystając z funkcji losującej zaimplementowanej w pakiecie MATLAB oraz wbudowanych funkcji konwersji: *rgb2hsv* oraz *hsv2rgb*. Ostatecznie stworzyłem zestaw uczący 1000 próbek, z których:

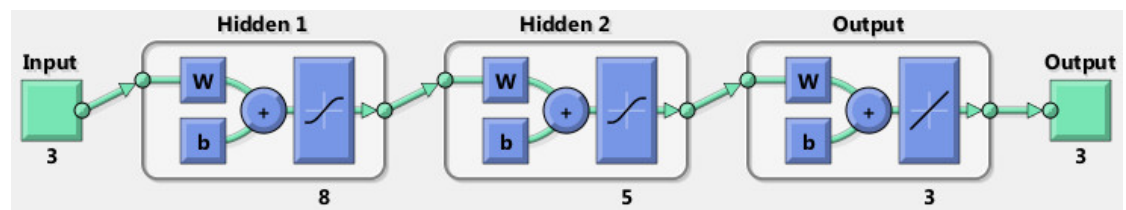
- 70% zostało wykorzystane do nauki sieci,
- 15% zostało wykorzystane do walidacji nauki,
- 15% zostało wykorzystane do przetestowania nauczonej sieci.

### 2.1 Ogólna struktura sieci realizującej zadania RGB2HSV oraz HSV2RGB

Sieć wybrana do realizacji zadania to sieć jednokierunkowa, wielowarstwowa, gdzie wyjście każdego neuronu warstwy poprzedniej połączone jest z wejściem każdego neuronu warstwy następnej za pomocą wagi. Każda taka sieć składa się z warstw: wejściowej oraz wyjściowej. Dodatkowo każda z sieci można zawierać warstwy ukryte, których obecność umożliwia zwiększenie możliwości sieci neuronowej.

W ramach ćwiczenia do nauki podanej sieci wykorzystałem algorytmu Levenberga-Marquardta, który charakteryzuje się dużymi wymaganiami pamięciowymi, jednak daje bardzo dobre rezultaty.

Ostatecznie zaproponowana sieć jest postaci:



Rysunek 1: Wybrana struktura sieci z dwoma warstwami ukrytymi zawierającymi odpowiednio 8 oraz 5 neuronów

### 3 Implementacja rozwiązania

Na całość projektu składają się pliki:

- runproject.m - skrypt uruchamiający projekt,
- siecRGB2HSV.m - skrypt inicjalizujący i uczący sieć realizującą zadanie RGB2HSV,
- siecHSV2RGB.m - skrypt inicjalizujący i uczący sieć realizującą zadanie HSV2RGB,
- showRGB2HSV.m - skrypt pokazujący działanie sieci RGB2HSV na wybranym obrazie,
- showHSV2RGB.m - skrypt pokazujący działanie sieci HSV2RGB na wybranym obrazie.

Do stworzenia szkicu pliku sieci neuronowej skorzystałem z menu dostępnego z tool-boxu Neural Network. Do realizacji zadania wykorzystano sieć *fitnet* będącą modyfikacją sieci feed-forward przystosowaną do nauki funkcji wejścia-wyjścia zapisanej w danych uczących.

#### 3.1 Dobór struktury sieci

W celu dobrania odpowiedniej struktury sieci zbadano działania sieci dla 5 konfiguracji warstw ukrytych:

- 1 warstwa ukryta z 5 neuronami
- 1 warstwa ukryta z 10 neuronami
- 2 warstwy ukryte z 5 oraz 8 neuronami w odpowiednich warstwach
- 2 warstwy ukryte z 10 oraz 10 neuronami w odpowiednich warstwach
- 3 warstwy ukryte z 5, 8 oraz 5 neuronami w odpowiednich warstwach

Warstwy ukryte sieci	[5]	[10]	[8 5]	[10 10]	[5 8 5]
performance	1.24e-02	2.9e-03	3.7576e-04	5.2558e-04	6.5018e-04
train performance	1.17e-02	3.0e-03	2.5081e-04	3.3942e-04	5.4442e-04
val performance	1.25e-02	3.2e-03	4.3110e-04	9.4445e-04	7.3727e-04
test performance	1.53e-02	2.3e-03	9.0347e-04	9.7547e-04	1.1e-03

Tablica 1: Wyniki uzyskane dla sieci RGB2HSV w zależności od struktury warstwy ukrytej

Warstwy ukryte sieci	[5]	[10]	[8 5]	[10 10]	[5 8 5]
performance	5.5e-03	5.8031e-04	7.2879e-05	2.1859e-05	8.7622e-05
train performance	5.5e-03	5.8791e-04	7.1420e-05	2.0900e-05	8.5433e-05
val performance	5.2e-03	5.3555e-04	7.9391e-05	2.1030e-05	9.4975e-05
test performance	5.7e-03	5.8960e-04	7.3180e-05	2.7163e-05	9.0485e-05

Tablica 2: Wyniki uzyskane dla sieci HSV2RGB w zależności od struktury warstwy ukrytej

Analizując wyniki porównania zebrane w tabelach [1, 2] można zaobserwować, że dla 1 warstwy ukrytej sieci neuronowe RGB2HSV oraz HSV2RGB stosunkowo słabo odwzorowują badane transformacje. Prawdopodobną przyczyną jest fakt, że transformacje realizowane według wzorów [4, 5, 10] są mocno nieliniowe. Dodanie dodatkowej warstwy ukrytej zwiększa możliwość sieci i powoduje poprawę realizacji działania sieci.

Analogiczną sytuację można zaobserwować dla sieci HSV2RGB, gdzie transformacja 10 jest jedynie przedziałami ciągła. Również tutaj dodanie dodatkowej warstwy ukrytej poprawia realizację funkcji i umożliwia skuteczne działanie.

Dla obu sieci można także zaobserwować wolniejsze i słabsze działanie dla sieci posiadającej 3 warstwy ukrytej. Jest to spowodowane rozbudowaną strukturą sieci, której nauka jest już zdecydowanie trudniejsza. Dodatkowo tak rozbudowana sieć potrzebuje większej liczby danych wejściowych (lub iteracji) w celu osiągnięcia wyniku porównywalnego do sieci z 2 warstwami ukrytymi.

### 3.2 Dobór parametrów nauki

W celu optymalizacji procesu nauki postanowiono zbadać zmianę parametrów nauki na wynik nauki sieci neuronowych. Badano wpływ parametrów:

- epochs - liczba cykli nauki - wartości 100, 1000 oraz 10000.
- goal - cel nauki - wartości 0, 10e-2, 10e-6.

Eksperymenty przeprowadzono dla obu sieci badając wpływ zmiany każdego z parametrów. Wyniki zebrano w tabelach.

Sieć RGB2HSV, goal = 0	epochs = 100	epochs = 1000	epochs = 10000
performance	0.0015	7.5793e-04	6.0089e-04
train performance	9.8379e-04	7.2850e-04	5.5945e-04
val performance	0.0018	8.9602e-04	6.6212e-04
test performance	0.0035	7.5717e-04	7.3306e-04

Tablica 3: Wyniki nauki sieci RGB2HSV dla goal = 0 i różnych wartości epochs

Sieć HSV2RGB, goal = 0	epochs = 100	epochs = 1000	epochs = 10000
performance	4.8661e-04	1.3909e-04	1.5606e-04
train performance	4.2981e-04	1.2711e-04	1.4405e-04
val performance	6.4971e-04	1.6145e-04	1.8000e-04
test performance	5.8857e-04	1.7261e-04	1.8817e-04

Tablica 4: Wyniki nauki sieci HSV2RGB dla goal = 0 i różnych wartości epochs

Analizując wyniki uzyskane w tabelach można zaobserwować, że dla sieci RGB2HSV optymalną wartością jest epochs = 1000, ponieważ dla wartości 100 następuje niedouczenie sieci, natomiast do wartości większej nie następuje poprawa nauczonej wartości. Identyczna sytuacja ma miejsca dla sieci HSV2RGB.

Sieć RGB2HSV, epochs = 1000	goal = 0	goal = 0.000001	epochs = 0.01
performance	7.5793e-04	8.4823e-04	0.0092
train performance	7.2850e-04	7.3610e-04	0.0087
val performance	8.9602e-04	7.8010e-04	0.0090
test performance	7.5717e-04	0.0014	0.0113

Tablica 5: Wyniki nauki sieci RGB2HSV dla epochs = 1000 i różnych wartości goal

Sieć HSV2RGB, epochs = 1000	goal = 0	goal = 0.000001	epochs = 0.01
performance	1.3909e-04	1.2416e-04	0.0099
train performance	1.2711e-04	1.1849e-04	0.0095
val performance	1.6145e-04	1.4275e-04	0.0121
test performance	1.7261e-04	1.3202e-04	0.0095

Tablica 6: Wyniki nauki sieci HSV2RGB dla epochs = 1000 i różnych wartości goal

Analizując wyniki wpływu celu nauki można zauważyć, że dla obu sieci największa badana wartość spowodowała słabe wyniki badanych sieci. Pomiedzy wartością 0, a 1.0e-6 nie zaobserwowano większych różnic w naukach sieci.

Ostatecznie zdecydowano się zostawić parametry nauki:

- epochs = 1000,
- goal = 0.

### 3.3 Porównanie czasu działania z wbudowaną funkcją MATLABa

Analizując wzory użycie do konwertowania pomiędzy przestrzeniami można zauważyć, że są to dość skomplikowane, nieliniowe wzory. Z drugiej strony sieć neuronowa składa

się jedynie z operacji ważonej sumy wejść oraz wyliczania funkcji aktywacji. Dlatego postanowiono zbadać czasy działania obu rozwiązań na zestawie danych zawierającym  $512 \times 512 = 262144$  pixeli. Uzyskano:

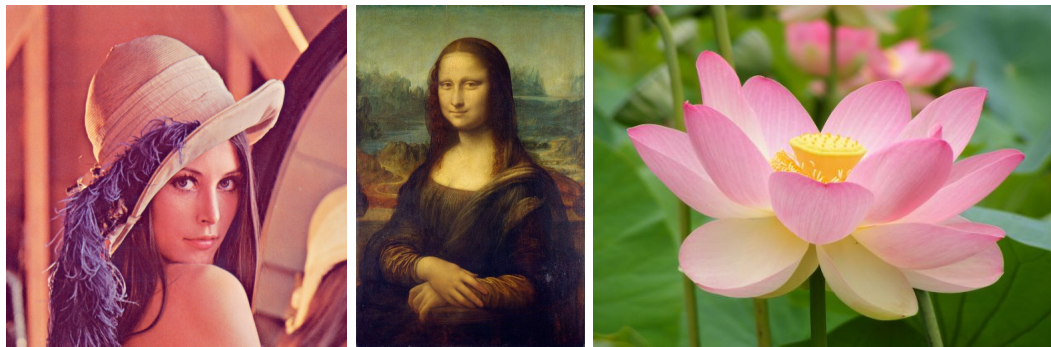
- Sieć neuronowa: 0,476180 [s].
- Wbudowana funkcja MATLABa: 0,076601 [s].

Okazało się, że realizacja obliczeń z siecią neuronową jest około 6-krotnie wolniejsza od realizacji obliczeń za pomocą wbudowanej funkcji MATLABa. Jednak w przypadku nieznania analitycznej postaci odtwarzanej funkcji może to być jedna z lepszych metod szybkiego i skutecznego odtworzenia działania funkcji.

### 3.4 Prezentacja działania na przykładowych obrazach

W celu prezentacji działania obu nauczonych sieci wykorzystano 3 obrazy:

- obraz *lena.jpg* powszechnie stosowany z przetwarzaniu obrazów do różnych testów,
- obraz *monalisa.jpg* przedstawiający słynny obraz Leonardo da Vinci,
- obraz *flower.jpg* przedstawiający kwiat.



Rysunek 2: Rysunki testowe: lena.jpg, monalisa.jpg oraz flower.jpg

W następnych podsekcjach przedstawiono wyniki konwersji uzyskane poprzez zastosowanie sieci neuronowej. Dla każdej konwersji, w pierwszym wierszu przedstawiono wyniki uzyskane z zastosowaniem sieci neuronowej. W drugim wierszu przedstawiono wynik oczekiwany powstały poprzez zastosowanie wbudowanej funkcji w pakiecie MATLAB.

### 3.4.1 Wyniki uzyskane dla obrazu *lena.jpg*



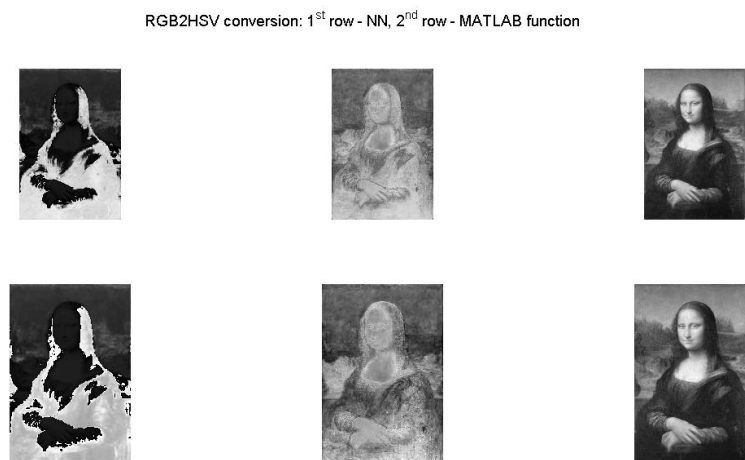
Rysunek 3: Wyniki konwersji z przestrzeni RGB do przestrzeni HSV. W kolumnach przedstawiono odpowiednio wartości kanałów: H, S oraz V.



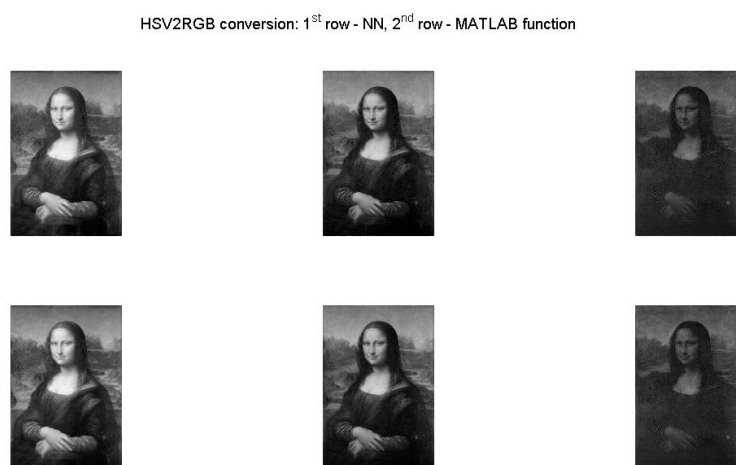
Rysunek 4: Wyniki konwersji z przestrzeni HSV do przestrzeni RGB. W kolumnach przedstawiono odpowiednio wartości kanałów: R, G oraz B.



### 3.4.2 Wyniki uzyskane dla obrazu *monalisa.jpg*



Rysunek 5: Wyniki konwersji z przestrzeni RGB do przestrzeni HSV. W kolumnach przedstawiono odpowiednio wartości kanałów: H, S oraz V.



Rysunek 6: Wyniki konwersji z przestrzeni HSV do przestrzeni RGB. W kolumnach przedstawiono odpowiednio wartości kanałów: R, G oraz B.

### 3.4.3 Wyniki uzyskane dla obrazu *flower.jpg*

RGB2HSV conversion: 1<sup>st</sup> row - NN, 2<sup>nd</sup> row - MATLAB function



Rysunek 7: Wyniki konwersji z przestrzeni RGB do przestrzeni HSV. W kolumnach przedstawiono odpowiednio wartości kanałów: H, S oraz V.

HSV2RGB conversion: 1<sup>st</sup> row - NN, 2<sup>nd</sup> row - MATLAB function



Rysunek 8: Wyniki konwersji z przestrzeni HSV do przestrzeni RGB. W kolumnach przedstawiono odpowiednio wartości kanałów: R, G oraz B.

## 4 Wnioski

Sieć fitnet w realizacji zadania transformacji pomiędzy przestrzeniami barw spisuje się bardzo dobrze, choć wymaga ona trochę wysiłku w celu odpowiedniego dobrania struktury oraz parametrów nauki. Dodatkowym wynikiem realizacji projektu jest fakt, że do jakościowo zadowalającej konwersji pomiędzy przestrzeniami RGB i HSV konieczne jest zastosowanie sieci neuronowej z dwoma warstwami ukrytymi. W czasie realizacji tego projektu okazało się, że sieć fitnet o takiej strukturze może skutecznie odtwarzać działania nawet mocno nieliniowych funkcji.

## 5 Uwagi końcowe

Najwięcej problemów podczas realizacji projektu sprawiło dynamiczne typowanie zmiennych w MATLABie połączony z faktem błędnej informacji w helpie do funkcji `rgb2hsv`. W informacji do funkcji `rgb2hsv` można znaleźć informację, że oczekiwane wejście ma zawierać wartości z przedziału  $< 0, 1 >$  na każdym kanale. Dopiero analiza kodu funkcji MATLABa pokazała, że konwersja realizowana jest wewnątrz funkcji i zależy od typu zmiennej. Rozwiązaniem okazało się silne typowanie zmiennych (wymuszenie odpowiednich typów) i ostrożne konwertowanie pomiędzy znormalizowaną reprezentacją kanału kolorów, a reprezentacją w postaci 8-bitowej zmiennej całkowitej `uint8`.